

УДК 537.9 538.913

## КОМПЬЮТЕРНОЕ МОДЕЛИРОВАНИЕ ФАЗОВЫХ ПЕРЕХОДОВ В ТРЕХМЕРНЫХ СЛАБО РАЗБАВЛЕННЫХ СПИНОВЫХ СИСТЕМАХ

© 2022 г. А. К. Муртазаев<sup>а</sup>, А. Б. Бабаев<sup>б</sup> \*

<sup>а</sup>Институт физики им. Х.И. Амирханова Дагестанский федеральный исследовательский центр  
Российской академии наук, Махачкала, 367010 Россия

<sup>б</sup>Дагестанский федеральный исследовательский центр РАН, Махачкала, 367032 Россия

\*e-mail: b\_albert78@mail.ru

Поступила в редакцию 16.06.2021 г.

После доработки 27.08.2021 г.

Принята к публикации 30.08.2021 г.

Проведено компьютерное моделирование фазовых переходов в трехмерной слабо разбавленной модели Поттса с числом состояний спина  $q = 5$  на простой кубической решетке. Расчеты проводились для спиновых систем с периодическими граничными условиями при концентрации спинов  $p = 1.0$  и  $p = 0.90$ . При этом рассматривались системы с линейными размерами  $L \times L \times L = N$ ,  $L = 10-80$ . Получены температурные зависимости теплоемкости, восприимчивости и намагниченности в зависимости от линейных размеров изучаемых систем  $L$ . Методом кумулянтов Биндера четвертого порядка и с применением гистограммного анализа данных показано, что наличие слабого беспорядка в виде немагнитных примесей порядка  $c = 10\%$  ( $c = 1 - p$ ,  $p$  – концентрация спинов) не скажется на фазовом переходе первого рода.

**Ключевые слова:** беспорядок, дефекты, модель Поттса, кубическая решетка, кластерный алгоритм, метод Монте-Карло, компьютерное моделирование, фазовый переход, кумулянты Биндера, гистограмма, распределение энергии.

**DOI:** 10.31857/S1028096022050156

### ВВЕДЕНИЕ

Фазовые переходы (ФП) и связанные с ними критические явления (КЯ) чрезвычайно широко распространены в конденсированных средах. При определенных условиях во всех конденсированных средах происходят один или несколько фазовых переходов. На разработку эффективной теории ФП и КЯ были затрачены значительные усилия, и к настоящему моменту времени в этом направлении достигнут существенный прогресс [1–3]. С другой стороны, следует отметить, что большинство результатов в этой области получены для однородных, идеализированных и сильно упрощенных моделей. В реальном мире мы имеем дело со спиновыми системами и материалами, которые существенно отличаются от идеализированных систем. Как с точки зрения практики, так и с точки зрения теории, всегда возникает вопрос о влиянии дефектов и случайных структур, присутствующих в реальных системах, на различные тепловые и магнитные характеристики. В этом плане особенный интерес представляет определение трикритической точки  $p_c$ , отделяющей на фазовой диаграмме область ФП первого рода от области ФП второго рода [4, 5]. Кроме того, воз-

никает вопрос уверены ли мы в том, что ФП первого рода наблюдаются в присутствии разбавления? Точная величина  $p_c$  имеет большое значение при создании различных новых магнитных материалов, а также при изучении высоко температурной сверхпроводимости, возникающей при замещении небольшого количества магнитных атомов La немагнитными атомами стронция Sr в антиферромагнитном диэлектрике  $\text{LaCuO}_4$  [6].

### МОДЕЛЬ И МЕТОД ИССЛЕДОВАНИЯ

В узлах  $i$  кубической решетки  $L \times L \times L$  с периодическими граничными условиями расположены спины  $S_i$ , которые могут находиться в одном из следующих состояний  $q = 1, 2, 3, 4, 5$ , и немагнитные примеси ( $S_i = 0$ ). Немагнитные примеси неподвижны. Энергия связи между двумя узлами равна нулю, если хотя бы в одном узле находится немагнитная примесь или, если взаимодействующие спины находятся в различных состояниях, и равна  $J$ , если оба узла заняты магнитными атомами, находящимися в одинаковых состояниях. Гамильтониан такой системы можно записать в следующем виде [7]:

$$H = -\frac{1}{2}J \sum_{i,j} \rho_i \rho_j \delta(S_i, S_j), \quad S_i = 1, 2, 3, 4, 5, \quad (1)$$

где  $\delta(S_i, S_j) = \begin{cases} 1, & \text{если } S_i = S_j, \\ 0, & \text{если } S_i \neq S_j, \end{cases}$   $\rho_i = \begin{cases} 1, & \text{если в узле расположен спин} \\ 0, & \text{если в узле расположена немагнитная примесь} \end{cases}$

и  $J$  – параметр обменного ферромагнитного взаимодействия ближайших соседей (в дальнейшем считаем  $J = 1$  и работаем с безразмерной температурой). Концентрация магнитных атомов определяется суммированием всех состояний атомов во всех узлах решетки:

$$p = \frac{(N_1 + N_2 + N_3 + N_4 + N_5)}{L^3}, \quad (2)$$

где  $N_\alpha = \{N_1, N_2, N_3, N_4, N_5\}$ ,  $N_1$  – число спинов в состоянии с  $q = 1$ ,  $N_2$  – число спинов в состоянии с  $q = 2$ ,  $N_3$  – число спинов в состоянии с  $q = 3$ ,  $N_4$  – число спинов в состоянии с  $q = 4$ ,  $N_5$  – число спинов в состоянии с  $q = 5$ . При этом рассматривались системы с линейными размерами  $L \times L \times L = N$ ,  $L = 10-80$ .

Исследования проводили на основе высокоэффективного кластерного алгоритма Вольфа метода Монте-Карло (МК) [8]. Расчеты проводили для систем с периодическими граничными условиями при концентрациях спинов  $p = 1.00, 0.90$ . Начальные конфигурации задавались таким образом, чтобы все спины были упорядочены вдоль оси  $Z$ . Для вывода системы в равновесное состояние отсекался неравновесный участок длиной  $\tau_0$  для системы с линейными размерами  $L$ . Этот неравновесный участок отбрасывали. Затем усреднение проводилось по участку марковской цепи длиной  $\tau = 150\tau_0$ . Для самой большой системы  $L = 80$ ,  $\tau_0 = 2.3 \times 10^3$  МК шагов/спин. Кроме того, проводилось усреднение по различным начальным конфигурациям. В случае  $p = 1.0$  для усреднения использовалось 15 начальных конфигураций. Для слабо разбавленных систем с концентрацией спинов  $p = 0.90$  осуществлялось конфигурационное усреднение по 2000 различным конфигурациям, причем для каждой примесной конфигурации выполнялось усреднение по длине цепи  $\tau = 150\tau_0$ .

## РЕЗУЛЬТАТЫ КОМПЬЮТЕРНОГО МОДЕЛИРОВАНИЯ

Наблюдение за температурным ходом поведения теплоемкости и восприимчивости осуществлялось с использованием флуктуационных соотношений [9]:

$$C = (NK^2) \left( \langle U^2 \rangle - \langle U \rangle^2 \right), \quad (3)$$

$$\chi = (NK) \left( \langle m_F^2 \rangle - \langle m_F \rangle^2 \right), \quad (4)$$

где  $K = |J|/k_B T$ ,  $N = p^* L^3$  – число магнитных узлов,  $U$  – внутренняя энергия,  $m_F$  – намагниченность системы, угловые скобки обозначают усреднение по ансамблю. В качестве намагниченности  $m_F$  для ферромагнитной модели Поттса с числом состояний спина  $q = 5$  использовалось следующее выражение [10]

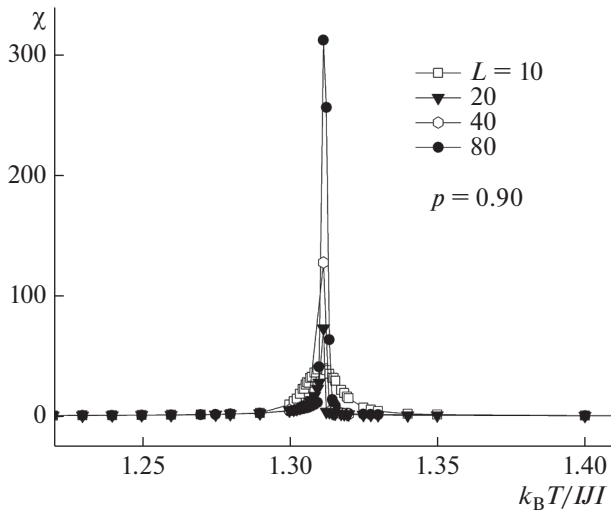
$$m_F = \frac{\left[ q \left( \frac{N_{\max}}{N} \right) - 1 \right]}{q - 1}, \quad (5)$$

где  $N_{\max} = \max \{N_1, N_2, N_3, N_4, N_5\}$ ,  $N_i$  – число спинов в состоянии с  $q = i$ .

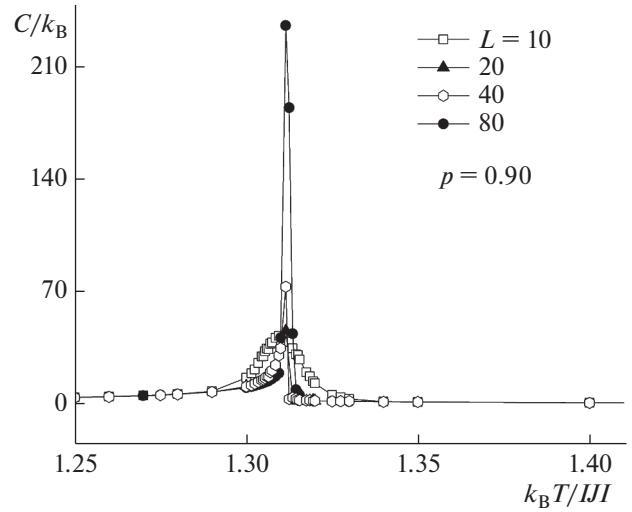
На рис. 1, 2 представлены характерные зависимости восприимчивости  $\chi$  и теплоемкости  $C$  от температуры  $T$  для трехмерной слабо разбавленной ферромагнитной модели Поттса с числом состояний спина  $q = 5$  на простой кубической решетке для систем с линейными размерами  $L = 10-80$  при концентрации спинов  $p = 0.90$ . Здесь и далее во всех рисунках погрешность данных не превышает размеров символов, используемых для построения графиков. Отметим, что в зависимости восприимчивости  $\chi$  и теплоемкости  $C$  от температуры для всех исследуемых нами систем проявляются четко выраженные максимумы, и эти максимумы (в пределах погрешности) приходятся на одну температуру. Как видно из этих рисунков, представленные температурные зависимости восприимчивости и теплоемкости проявляют слабую размерную зависимость. Это связано с тем, что на исследуемую разбавленную систему накладывались периодические граничные условия. Кроме того, в рассматриваемой неупорядоченной модели Поттса с  $q = 5$  наблюдается слабо выраженный фазовый переход первого рода, при этом размерные эффекты ярко не проявляются.

На рис. 3 представлены температурные зависимости намагниченности  $m_F$  для трехмерной слабо разбавленной модели Поттса при  $p = 0.90$ . Как видно из рис. 3, наблюдается монотонное уменьшение величины  $m_F$  с ростом температуры и заметное уменьшение высокотемпературных “хвостов” при увеличении линейного размера  $L$ .

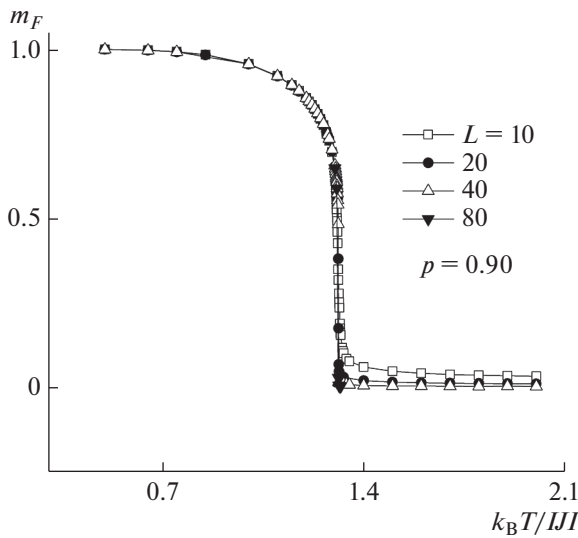
В случае компьютерного моделирования фазовых переходов при определении температуры ФП



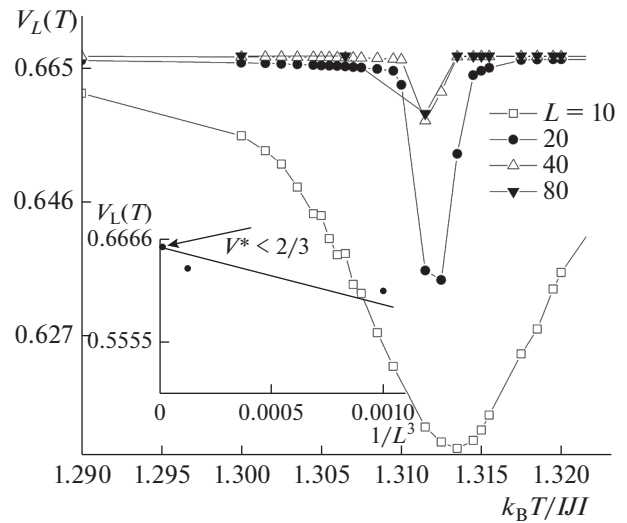
**Рис. 1.** Температурная зависимость восприимчивости  $\chi$  для трехмерной слабо разбавленной модели Поттса с  $q = 5$ .



**Рис. 2.** Температурная зависимость теплоемкости  $C$  для трехмерной слабо разбавленной модели Поттса с  $q = 5$ .



**Рис. 3.** Температурная зависимость намагниченности  $m_F$  для трехмерной слабо разбавленной модели Поттса с  $q = 5$ .



**Рис. 4.** Температурная зависимость кумулянтов Биндера  $V_L(T, p)$  для трехмерной слабо разбавленной модели Поттса при  $p = 0.90$ .

$T_L$  наилучшим образом зарекомендовал метод кумулянтов Биндера четвертого порядка [11]:

$$V_L(T, p) = 1 - \frac{\langle E^4(T, p; L) \rangle_L}{3 \langle E^2(T, p; L) \rangle_L^2}, \quad (6)$$

$$U_L(T, p) = 1 - \frac{\langle m^4(T, p; L) \rangle_L}{3 \langle m^2(T, p; L) \rangle_L^2}, \quad (7)$$

где  $E$  — энергия и  $m$  — намагниченность системы с линейным размером  $L$ . Выражения (6) и (7) поз-

воляют определить температуру ФП  $T_L(p)$  с большой точностью в фазовых переходах первого и второго рода. Кроме того, изучение кумулянтов Биндера  $V_L(T, p)$  и  $U_L(T, p)$  очень полезно для определения рода ФП [12–16]. Характерные зависимости энергетических кумулянтов Биндера  $V_L(T, p)$  от температуры для слабо разбавленных систем с разными линейными размерами при концентрации спинов  $p = 0.90$  приведены на рис. 4. Как следует из вставки на рис. 4, нетривиальная величина  $V^*$  не стремится к  $2/3$  в соответствии с выражением  $V(T, p) = V^* + bL^{-d}$  при  $L \rightarrow \infty$ . Такое поведение, как известно, характерно для ФП пер-

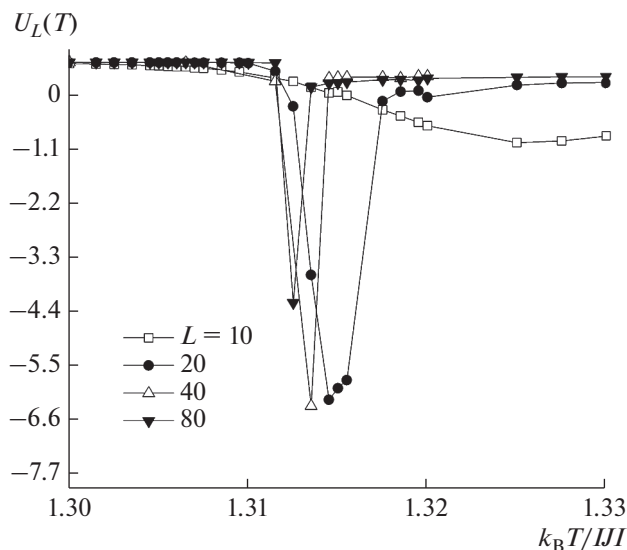


Рис. 5. Температурная зависимость кумулянтов Биндера  $U_L(T, p)$  для трехмерной слабо разбавленной модели Поттса при  $p = 0.90$ .

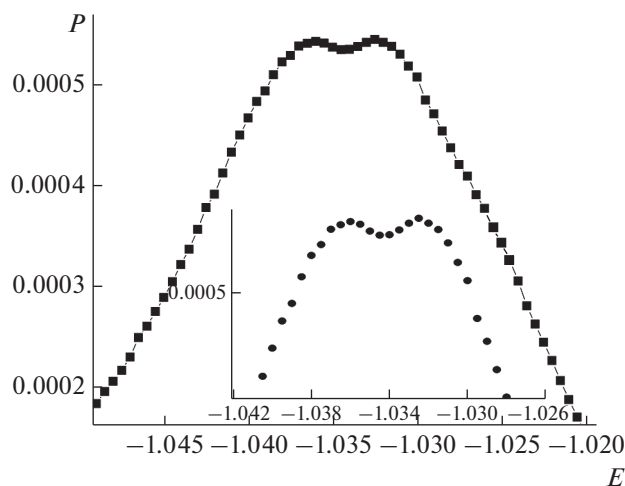


Рис. 6. Гистограмма распределения энергии для трехмерной слабо разбавленной модели Поттса с  $q = 5$  при  $p = 0.90$ .

вого рода. Кроме того, для кумулянтов Биндера  $U_L(T, p)$  (рис. 5) в точке ФП не наблюдается четко выраженная точка пересечения, что также свидетельствует о ФП первого рода. Определенные методом кумулянтов Биндера температуры фазовых переходов  $T_L(p)$  в единицах  $|J|/k_B$  равны:  $T_L(1.00) = 1.452$  (1) и  $T_L(0.90) = 1.31$  (1).

Параллельно с методом кумулянтов Биндера для анализа рода ФП нами использовался и гистограммный анализ данных метода Монте-Карло [17, 18]. Гистограммный анализ данных, проведенный нами для трехмерной слабо разбавленной ферромагнитной модели Поттса с числом

состояний спина  $q = 5$  на простой кубической решетке, также свидетельствует о наличии ФП первого рода. Это продемонстрировано на рис. 6. На данном рисунке представлена гистограмма распределения энергии вблизи точки фазового перехода  $T_L$  для систем с линейным размером  $L = 80$  при концентрации спинов  $p = 0.90$ . Как видно из вставки на рис. 6, наблюдается бимодальность в распределении энергии, характерная для ФП первого рода. Для этой модели при концентрации спинов  $p = 0.8$  в работе [19] было выявлено распределение энергии с одним максимумом. Повидимому, трикритическая точка для трехмерной модели Поттса с  $q = 5$  находится в интервале изменения концентраций спинов  $0.80 < p_c < 0.9$ . Определение точного значения трикритической точки  $p_c$  требует отдельного рассмотрения. Значение  $p_c$  также зависит от числа состояний спина  $q$  рассматриваемой модели Поттса. В частности, в трехмерной модели Поттса с числом состояний спина  $q = 3$  наличие незначительных количества немагнитных примесей (порядка 5%) оказывается существенным, при этом происходит смена фазового перехода первого рода на фазовый переход второго рода [20].

Таким образом, полученные в результате наших исследований данные свидетельствуют о том, что в трехмерных структурах, описываемых ферромагнитной моделью Поттса с  $q = 5$  на простой кубической решетке, слабый беспорядок, реализованный в виде немагнитных примесей концентрацией 10%, не оказывается существенным, и в рассматриваемой спиновой системе наблюдается фазовый переход первого рода, как и в случае однородной модели Поттса.

## ЗАКЛЮЧЕНИЕ

В данной работе с соблюдением единой методики исследованы фазовые переходы в трехмерной слабо разбавленной ферромагнитной модели Поттса с числом состояний спина  $q = 5$  на простой кубической решетке методами компьютерного моделирования. С использованием кумулянтов Биндера четвертого порядка определены температуры фазового перехода в зависимости от концентрации спинов  $p$ . Показано, что температурные зависимости для намагниченности, теплоемкости и восприимчивости не проявляют конечно-размерные эффекты. Полученные данные на основе вычислительного эксперимента свидетельствуют о том, что в рассматриваемой модели Поттса внесение небольшого беспорядка в виде немагнитных примесей в количестве  $c = 10\%$  ( $c = 1 - p$ ) каноническим способом не существенно для фазового перехода первого рода.

## СПИСОК ЛИТЕРАТУРЫ

1. Паташинский А.З., Покровский В.А. Флуктуационная теория фазовых переходов, М.: Наука, 1982. 154 с.
2. Прудников В.В., Вакилов А.Н., Прудников П.В. Фазовые переходы и методы их компьютерного моделирования, М.: Физматлит, 2009. 254 с.
3. Henkel M., Pleimling M., Nonequilibrium Phase Transitions, Springer, 2010. P. 320.
4. Cardy J., Jacobsen J.L. // Phys. Rev. Lett. 1997. V. 79. P. 4063.
5. Fernandez L.A., Gordillo-Guerrero A., Martin-Mayor V., Ruiz-Lorenzo J.J. // Phys. Rev. B. 2012. V. 86. P. 184428. <https://doi.org/10.1103/PhysRevB.86.184428>
6. Sen C., Alvarez G., Dagotto E. // Phys. Rev. Lett. 2007. V. 98. P. 127202.
7. Wu F.Y. Exactly Solved Models. London: World Scientific, 2009.
8. Wolff U. // Phys. Lett. 1989. V. 62. P. 361. <https://doi.org/10.1103/PhysRevLett.62.361>
9. Peczac P., Ferrenberg A.M., Landau D.P. // Phys. Rev. B. 1991. V. 43. P. 6087. <https://doi.org/10.1103/PhysRevB.43.6087>
10. Chatelain C., Berche B. // Phys. Rev. Lett. 1998. V. 80. P. 1670. <https://doi.org/10.1103/PhysRevLett.80.1670>
11. Eichhorn K., Binder K. // J. Phys.: Condens. Matter. 1996. V. 8. P. 5209. <https://doi.org/10.1088/0953-8984/8/28/005>
12. Murtazaev A.K., Babaev A.B. // Journal of Surface Investigation: X-ray, Synchrotron and Neutron Techniques. 2020. V. 14. № 4. P. 727. <https://doi.org/10.1134/S1027451020030350>
13. Murtazaev A.K., Babaev A.B. // Physics of the Solid State. 2020. V. 62. № 5. P. 851. <https://doi.org/10.1134/S1063783420050042>
14. Murtazaev A.K., Babaev A.B. // Materials Letters. 2020. V. 258. P. 126771. <https://doi.org/10.1016/j.matlet.2019.126771>
15. Babaev A.B., Murtazaev A.K. // Low Temperature Physics. 2020. V. 46. P. 688. <https://doi.org/10.1063/10.0001365>
16. Murtazaev A.K., Babaev A.B., Ataeva G.Ya. // Physics of the Solid State. 2020. V. 62. № 7. P. 1228. <https://doi.org/10.1134/S1063783420070185>
17. Alves N.A., Berg B.A., Villanova R. // Phys. Rev. B. 1990. V. 41. P. 383. <https://doi.org/10.1103/PhysRevB.41.383>
18. Wang F., Landau D.P. // Phys. Rev. E. 2001. V. 64. P. 056101. <https://doi.org/10.1103/PhysRevE.64.056101>
19. Murtazaev A.K., Babaev A.B. // J. Experimental and Theoretical Physics. 2021. V. 132. P. 917. <https://doi.org/10.1134/S1063776121060054>
20. Babaev A.B., Murtazaev A.K. // Low Temperature Physics. 2015. V. 41. P. 608. <https://doi.org/10.1063/1.4929595>

## Computer Simulation of Phase Transitions in Three-Dimensional Weakly Diluted Spin Systems

A. K. Murtazaev<sup>1</sup>, A. B. Babaev<sup>2</sup>, \*

<sup>1</sup>*H. Amirkhanov Institute of Physics of the Dagestan Federal Research Centre of the Russian Academy of Sciences, Makhachkala, 367010 Russia*

<sup>2</sup>*Dagestan Federal Research Centre of the Russian Academy of Sciences, Makhachkala, 367032 Russia*

\*e-mail: b\_albert78@mail.ru

A computer simulation of phase transitions in a three-dimensional weakly diluted 5-state Potts model on a simple cubic lattice is performed. Calculations were performed for spin systems with periodic boundary conditions at spin concentrations  $p = 1.0$  and  $p = 0.90$ . Systems with linear dimensions  $L \times L \times L = N$ ,  $L = 10 - 80$  were considered. The temperature dependences of the specific heat, susceptibility, and magnetization as a function of the linear dimensions of the studied systems are obtained. Using the fourth-order Binder cumulants and using histogram data analysis, it is shown that the presence of a weak disorder in the form of non-magnetic impurities of the order  $c = 10\%$  ( $c = 1 - p$ ,  $p$  – spin concentration) does not affect the phase transition of the first-order.

**Keywords:** disorder, defects, Potts model, cubic lattice, cluster algorithm, Monte Carlo method, computer simulation, phase transition, Binder cumulants, histogram, energy distribution.